

Structures de Clifford paires et résonances quantiques

Charles Hadfield

le 19 juin 2017

sommaire

Structures de Clifford paires

Espace de twisteurs

Structure de Clifford-Weyl

Résonances quantiques

Méthode de Vasy

Laplacien de Lichnerowicz

Correspondance classique-quantique

sommaire

Structures de Clifford paires

Résonances quantiques

définition d'une structure de Clifford paire parallèle

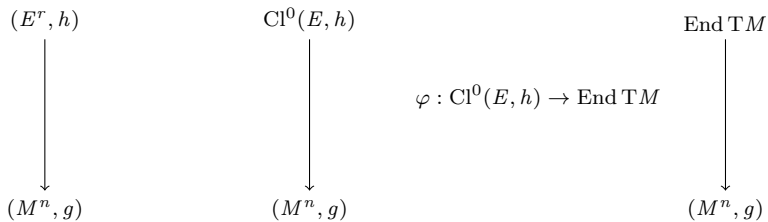
Moroianu-Semmelmann '11

$$\begin{array}{c} (E^r, h) \\ \downarrow \\ (M^n, g) \end{array}$$

définition d'une structure de Clifford paire parallèle

 (E^r, h)  (M^n, g) $\text{Cl}^0(E, h)$  (M^n, g)

définition d'une structure de Clifford paire parallèle



définition d'une structure de Clifford paire parallèle

$\{\xi_i\}_{1 \leq i \leq r}$

(E^r, h)



(M^n, g)

$\text{Cl}^0(E, h)$



(M^n, g)

$\varphi : \text{Cl}^0(E, h) \rightarrow \text{End TM}$

End TM



(M^n, g)

définition d'une structure de Clifford paire parallèle

$$\begin{array}{ccc} \{ \xi_i \}_{1 \leq i \leq r} & \begin{array}{l} \xi_i \cdot \xi_j + \xi_j \cdot \xi_i = -2\delta_{ij} \\ (\xi_i \cdot \xi_j)^2 = -1_{(i \neq j)} \end{array} & \\ \\ \begin{array}{c} (E^r, h) \\ \downarrow \\ (M^n, g) \end{array} & \begin{array}{c} \text{Cl}^0(E, h) \\ \downarrow \\ (M^n, g) \end{array} & \begin{array}{c} \text{End TM} \\ \downarrow \\ (M^n, g) \end{array} \end{array}$$

$\varphi : \text{Cl}^0(E, h) \rightarrow \text{End TM}$

définition d'une structure de Clifford paire parallèle

$$\begin{array}{ccc} \{\xi_i\}_{1 \leq i \leq r} & \begin{array}{l} \xi_i \cdot \xi_j + \xi_j \cdot \xi_i = -2\delta_{ij} \\ (\xi_i \cdot \xi_j)^2 = -1_{(i \neq j)} \end{array} & J_{ij} := \varphi(\xi_i \cdot \xi_j) \\ \\ (E^r, h) & \text{Cl}^0(E, h) & \text{End TM} \\ \downarrow & \downarrow & \downarrow \\ (M^n, g) & (M^n, g) & (M^n, g) \end{array}$$

$\varphi : \text{Cl}^0(E, h) \rightarrow \text{End TM}$

définition d'une structure de Clifford paire parallèle

$$\begin{array}{ccc} \{\xi_i\}_{1 \leq i \leq r} & \begin{array}{l} \xi_i \cdot \xi_j + \xi_j \cdot \xi_i = -2\delta_{ij} \\ (\xi_i \cdot \xi_j)^2 = -1_{(i \neq j)} \end{array} & J_{ij} := \varphi(\xi_i \cdot \xi_j) \\ \\ \begin{array}{c} (E^r, h) \\ \downarrow \\ (M^n, g) \end{array} & \begin{array}{c} \text{Cl}^0(E, h) \\ \downarrow \\ (M^n, g) \end{array} & \begin{array}{c} \text{End TM} \\ \downarrow \\ (M^n, g) \end{array} \\ & \begin{array}{l} \varphi : \text{Cl}^0(E, h) \rightarrow \text{End TM} \\ \Lambda^2 E \rightarrow \text{End}^- \text{ TM} \end{array} & \end{array}$$

définition d'une structure de Clifford paire

$$\begin{array}{ccc} \{\xi_i\}_{1 \leq i \leq r} & \begin{array}{l} \xi_i \cdot \xi_j + \xi_j \cdot \xi_i = -2\delta_{ij} \\ (\xi_i \cdot \xi_j)^2 = -1_{(i \neq j)} \end{array} & J_{ij} := \varphi(\xi_i \cdot \xi_j) \\ \\ \begin{array}{c} (E^r, h) \\ \downarrow \\ (M^n, g) \end{array} & \begin{array}{c} \text{Cl}^0(E, h) \\ \downarrow \\ (M^n, g) \end{array} & \begin{array}{c} \text{End TM} \\ \downarrow \\ (M^n, g) \end{array} \\ & \begin{array}{l} \varphi : \text{Cl}^0(E, h) \rightarrow \text{End TM} \\ \Lambda^2 E \rightarrow \text{End}^- \text{ TM} \end{array} & \end{array}$$

- une structure de Clifford paire est (M, g, E, h, φ) avec $\varphi(\Lambda^2 E) \subset \text{End}^- \text{ TM}$.

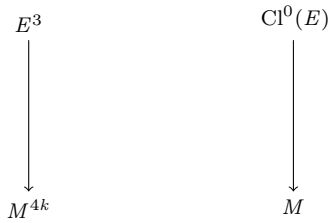
définition d'une structure de Clifford paire **parallèle**

$$\begin{array}{ccc} \{\xi_i\}_{1 \leq i \leq r} & \begin{array}{l} \xi_i \cdot \xi_j + \xi_j \cdot \xi_i = -2\delta_{ij} \\ (\xi_i \cdot \xi_j)^2 = -1_{(i \neq j)} \end{array} & J_{ij} := \varphi(\xi_i \cdot \xi_j) \\ \\ \begin{array}{ccc} (E^r, h) & \text{Cl}^0(E, h) & \text{End } TM \\ \downarrow & \downarrow & \downarrow \\ (M^n, g) & (M^n, g) & (M^n, g) \end{array} & \begin{array}{l} \varphi : \text{Cl}^0(E, h) \rightarrow \text{End } TM \\ \Lambda^2 E \rightarrow \text{End}^- TM \end{array} \end{array}$$

- ▶ une structure de Clifford paire est (M, g, E, h, φ) avec $\varphi(\Lambda^2 E) \subset \text{End}^- TM$.
- ▶ elle s'appelle *parallèle* s'il existe une connexion métrique ∇^E telle que

$$\nabla^g \circ \varphi = \varphi \circ \nabla^E$$

exemple d'une structure de Clifford paire parallèle : $r = 3$, $n = 4k$



exemple d'une structure de Clifford paire parallèle : $r = 3$, $n = 4k$

$$\begin{array}{ccc} E^3 & & \text{Cl}^0(E) \simeq \mathbb{H} \\ \downarrow & & \simeq \mathbb{R} \oplus \Lambda^2 E \\ M^{4k} & & M \end{array}$$

exemple d'une structure de Clifford paire parallèle : $r = 3$, $n = 4k$

$$\begin{array}{ccc} E^3 & \text{Cl}^0(E) \simeq \mathbb{H} & I, J, K \in \text{End } T^*M \\ \downarrow & \simeq \mathbb{R} \oplus \Lambda^2 E & \downarrow \\ M^{4k} & M & (M, g) \end{array}$$

$\varphi : \text{Cl}^0(E) \rightarrow \text{End } TM$
 $i, j, k \mapsto I, J, K$

exemple d'une structure de Clifford paire parallèle : $r = 3$, $n = 4k$

$$\begin{array}{ccc} E^3 & \text{Cl}^0(E) \simeq \mathbb{H} & \\ \downarrow & \simeq \mathbb{R} \oplus \Lambda^2 E & \\ M^{4k} & M & \end{array} \quad \begin{array}{c} I, J, K \in \text{End } T^*M \\ \downarrow \\ (M, g) \end{array}$$

$\varphi : \text{Cl}^0(E) \rightarrow \text{End } TM$
 $i, j, k \mapsto I, J, K$

- ▶ sans connexion, on a une géométrie quaternion-hermitienne.

exemple d'une structure de Clifford paire parallèle : $r = 3$, $n = 4k$

$$\begin{array}{ccc}
 E^3 & \text{Cl}^0(E) \simeq \mathbb{H} & I, J, K \in \text{End } T^- M \\
 \downarrow & \simeq \mathbb{R} \oplus \Lambda^2 E & \downarrow \\
 M^{4k} & M & (M, g)
 \end{array}$$

$\varphi : \text{Cl}^0(E) \rightarrow \text{End } TM$
 $i, j, k \mapsto I, J, K$

- ▶ sans connexion, on a une géométrie quaternion-hermitienne.
- ▶ si φ est parallèle, alors M est quaternion-kählérienne

sommaire

Structures de Clifford paires

Espace de twisteurs

Structure de Clifford-Weyl

Résonances quantiques

Méthode de Vasy

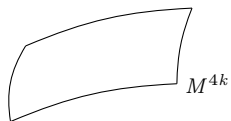
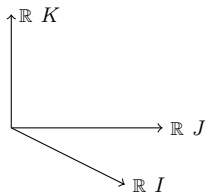
Laplacien de Lichnerowicz

Correspondance classique-quantique

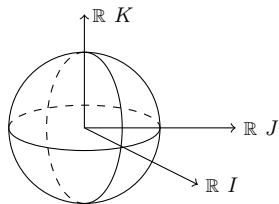
histoire des espaces de twisteurs

- ▶ Atiyah-Hitchin-Singer '78,
- ▶ Salamon '82,
- ▶ Bérard-Bergery '82
- ▶ O'Brian-Rawnsley '85

exemple d'un espace de twisteurs : $r = 3, n = 4k$



exemple d'un espace de twisteurs : $r = 3$, $n = 4k$



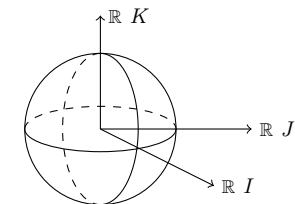
► on définit l'espace de twisteurs

$$Z_x := \{ a_i I + a_j J + a_k K \mid a_i^2 + a_j^2 + a_k^2 = 1 \}$$

$$Z := \bigsqcup_{x \in M} Z_x$$



exemple d'un espace de twisteurs : $r = 3$, $n = 4k$

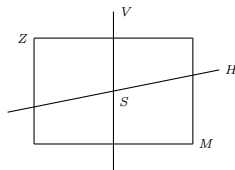


► on définit l'espace de twisteurs

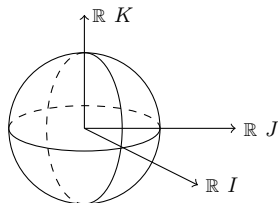
$$Z_x := \{ a_i I + a_j J + a_k K \mid a_i^2 + a_j^2 + a_k^2 = 1 \}$$

$$Z := \bigsqcup_{x \in M} Z_x$$

► puis on utilise la connexion ∇^g pour construire une structure presque-complexe \mathcal{J} sur $T_S Z$



exemple d'un espace de twisteurs : $r = 3, n = 4k$



- ▶ on définit l'espace de twisteurs

$$Z_x := \{ a_i I + a_j J + a_k K \mid a_i^2 + a_j^2 + a_k^2 = 1 \}$$

$$Z := \bigsqcup_{x \in M} Z_x$$

- ▶ puis on utilise la connexion ∇^g pour construire une structure presque-complexe \mathcal{J} sur $T_S Z$

$$\mathcal{J}_S(U + X) := SU + SX$$

$$= S \circ U + \pi_*^{-1} S \pi_* X$$

où $T_S Z = V \oplus H$ et $U \in V, X \in H$

twisteurs pour une structure de Clifford paire parallèle

- ▶ on définit l'espace de twisteurs

$$Z_x := \left\{ J = \sum_{1 \leq i < j \leq r} a_{ij} J_{ij} \mid J^2 = -1_{T_x M} \right\}$$
$$\simeq \widetilde{\text{Gr}}(2, r)$$

$Z \subset \text{End } TM$



$$Z := \bigsqcup_{x \in M} Z_x$$

twisteurs pour une structure de Clifford paire parallèle

- ▶ on définit l'espace de twisteurs

$$Z_x := \left\{ J = \sum_{1 \leq i < j \leq r} a_{ij} J_{ij} \mid J^2 = -1_{T_x M} \right\}$$
$$\simeq \widetilde{\text{Gr}}(2, r)$$

$Z \subset \text{End } TM$



$$Z := \bigsqcup_{x \in M} Z_x$$

- ▶ puis on utilise la connexion ∇^g pour construire une structure presque-complexe \mathcal{J} sur $T_S Z$

$$\mathcal{J}_S(U + X) := SU + SX$$

$$= \varphi_* S \cdot \varphi_*^{-1} U + \pi_*^{-1} S \pi_* X$$

où $T_S Z = V \oplus H$ et $U \in V, X \in H$

Théorème 1 (H-Arizmendi)

Soit (M^n, g) une variété riemannienne, $n \neq 8$, munie d'une structure de Clifford paire de rang $r > 4$ qui est parallèle. Alors la structure presque-complexe \mathcal{J} de l'espace de twisteurs Z est intégrable.

Théorème 2 (H-Arizmendi)

Situons-nous dans le cadre du théorème 1. Si le tenseur de Ricci est positif, alors Z est Kähler.

sommaire

Structures de Clifford paires

Espace de twisteurs

Structure de Clifford-Weyl

Résonances quantiques

Méthode de Vasy

Laplacien de Lichnerowicz

Correspondance classique-quantique

définition d'une structure de Clifford-Weyl (avec A. Moroianu)

$$\begin{array}{ccc} (E^r, h) & \text{Cl}^0(E, h) & \text{End } TM \\ \downarrow & \downarrow & \downarrow \\ (M^n, g) & (M^n, g) & (M^n, g) \end{array}$$

$\varphi : \text{Cl}^0(E, h) \rightarrow \text{End } TM$
 $\Lambda^2 E \rightarrow \text{End}^- TM$

- ▶ une structure de Clifford paire est (M, g, E, h, φ) avec $\varphi(\Lambda^2 E) \subset \text{End}^- TM$.

définition d'une structure de Clifford-Weyl (avec A. Moroianu)

$$\begin{array}{ccc} (E^r, h) & \text{Cl}^0(E, h) & \text{End } TM \\ \downarrow & \downarrow & \downarrow \\ (M^n, \mathbf{c}) & (M^n, \mathbf{c}) & (M^n, \mathbf{c}) \end{array}$$

$\varphi : \text{Cl}^0(E, h) \rightarrow \text{End } TM$
 $\Lambda^2 E \rightarrow \text{End}^- TM$

- ▶ une structure de Clifford paire est $(M, \mathbf{c}, E, h, \varphi)$ avec $\varphi(\Lambda^2 E) \subset \text{End}^- TM$.

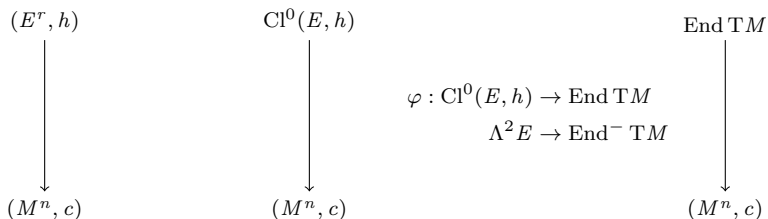
définition d'une structure de Clifford-Weyl (avec A. Moroianu)

$$\begin{array}{ccc} (E^r, h) & \text{Cl}^0(E, h) & \text{End } TM \\ \downarrow & \downarrow & \downarrow \\ (M^n, c) & (M^n, c) & (M^n, c) \end{array}$$

$\varphi : \text{Cl}^0(E, h) \rightarrow \text{End } TM$
 $\Lambda^2 E \rightarrow \text{End}^- TM$

- ▶ une structure de Clifford paire est (M, c, E, h, φ) avec $\varphi(\Lambda^2 E) \subset \text{End}^- TM$.
- ▶ qu'elle soit parallèle a utilisé la connexion de Levi-Civita.

définition d'une structure de Clifford-Weyl (avec A. Moroianu)



- ▶ une structure de Clifford paire est (M, c, E, h, φ) avec $\varphi(\Lambda^2 E) \subset \text{End}^- \text{TM}$.
- ▶ qu'elle soit parallèle a utilisé la connexion de Levi-Civita.
- ▶ alors on introduit une connexion métrique ∇^E et aussi une connexion de Weyl D et on appelle la structure *Clifford-Weyl* si le morphisme de Clifford φ les entrelace

$$D \circ \varphi = \varphi \circ \nabla^E.$$

rappel de la géométrie conforme

pour une variété conforme (M^n, c) avec une connexion D , nous avons :

- ▶ le fibré en droites $L \rightarrow M$ associé à la représentation $|\det|^{1/n}$;

une section $\ell \in \Gamma(L)$ donne :

- ▶ une métrique dans la classe conforme $c = g \otimes \ell^2$;
- ▶ une 1-forme $D\ell = \theta \otimes \ell$, qui s'appelle *forme de Lee* ;
- ▶ on en obtient la formule $Dg = -2\theta \otimes g$;

la courbure est $F := d\theta + \theta \wedge \theta = d\theta$,

on dit que la connexion de Weyl est *fermée* si $F = 0$.

si la connexion de Weyl est fermée alors elle est localement la connexion de Levi-Civita d'une métrique dans la classe conforme.

une structure de Clifford-Weyl lorsque $n > 4$, $r = 2$: géométrie hermitienne

$$J := \varphi(\xi_1 \cdot \xi_2), \quad c =: g \otimes \ell^2, \quad D\ell =: \theta \otimes \ell, \quad \Omega(\cdot, \cdot) := g(J\cdot, \cdot)$$

une structure de Clifford-Weyl lorsque $n > 4$, $r = 2$: géométrie hermitienne

$$J := \varphi(\xi_1 \cdot \xi_2), \quad c =: g \otimes \ell^2, \quad D\ell =: \theta \otimes \ell, \quad \Omega(\cdot, \cdot) := g(J\cdot, \cdot)$$

$$\begin{aligned} \nabla^E(\xi_1 \cdot \xi_2) = 0 &\implies DJ = 0, \\ Dg = -2\theta \otimes g &\implies D\Omega = -2\theta \otimes \Omega \end{aligned}$$

une structure de Clifford-Weyl lorsque $n > 4$, $r = 2$: géométrie hermitienne

$$J := \varphi(\xi_1 \cdot \xi_2), \quad c =: g \otimes \ell^2, \quad D\ell =: \theta \otimes \ell, \quad \Omega(\cdot, \cdot) := g(J\cdot, \cdot)$$

$$\begin{aligned} \nabla^E(\xi_1 \cdot \xi_2) = 0 &\implies DJ = 0, \\ Dg = -2\theta \otimes g &\implies D\Omega = -2\theta \otimes \Omega \end{aligned}$$

$$\begin{aligned} 0 = d^2 \Omega &= d(-2\theta \wedge \Omega) \\ &= -2F \wedge \Omega - 4\theta \wedge \theta \wedge \Omega \\ &= -2F \wedge \Omega \end{aligned}$$

une structure de Clifford-Weyl lorsque $n > 4$, $r = 2$: géométrie hermitienne

$$J := \varphi(\xi_1 \cdot \xi_2), \quad c =: g \otimes \ell^2, \quad D\ell =: \theta \otimes \ell, \quad \Omega(\cdot, \cdot) := g(J\cdot, \cdot)$$

$$\begin{aligned} \nabla^E(\xi_1 \cdot \xi_2) = 0 &\implies DJ = 0, \\ Dg = -2\theta \otimes g &\implies D\Omega = -2\theta \otimes \Omega \end{aligned}$$

$$\begin{aligned} 0 = d^2 \Omega &= d(-2\theta \wedge \Omega) \\ &= -2F \wedge \Omega - 4\theta \wedge \theta \wedge \Omega \\ &= -2F \wedge \Omega \end{aligned}$$

► alors $F = 0$ donc θ est fermée

Théorème 4 (H-Moroianu)

Considérons une variété conforme de dimension n munie d'une structure de Clifford-Weyl de rang r . Si la paire (n, r) n'est ni $(2, 2)$, $(4, 2)$, $(4, 3)$, $(4, 4)$, ni $(8, 8)$, alors la connexion de Weyl est fermée.

La conclusion reste vraie lorsque $(n, r) = (8, 4)$ si le morphisme de Clifford n'est pas injectif sur $\Lambda^2 E$.

Théorème 4 (H-Moroianu)

Considérons une variété conforme de dimension n munie d'une structure de Clifford-Weyl de rang r . Si la paire (n, r) n'est ni $(2, 2)$, $(4, 2)$, $(4, 3)$, $(4, 4)$, ni $(8, 8)$, alors la connexion de Weyl est fermée.

La conclusion reste vraie lorsque $(n, r) = (8, 4)$ si le morphisme de Clifford n'est pas injectif sur $\Lambda^2 E$.

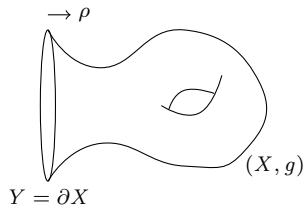
- ▶ les cas génériques sont traités dans le théorème 5.

sommaire

Structures de Clifford paires

Résonances quantiques

géométrie asymptotiquement hyperbolique



géométrie asymptotiquement hyperbolique

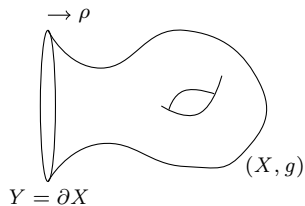
- ▶ la métrique g a une structure précise à l'infini

$$g = \frac{d\rho^2 + h}{\rho^2}$$

où ρ est une fonction qui définit le bord et h est une métrique sur Y qui dépend de façon lisse de ρ

$$h = \sum_{i \in \mathbb{N}_0} \rho^i h^{(i)}$$

en particulier, $h^{(0)}$ est positive définie



géométrie asymptotiquement hyperbolique

- ▶ la métrique g a une structure précise à l'infini

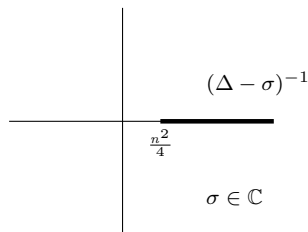
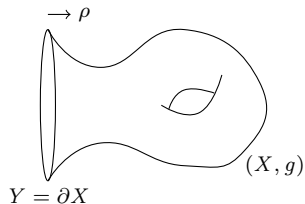
$$g = \frac{d\rho^2 + h}{\rho^2}$$

où ρ est une fonction qui définit le bord et h est une métrique sur Y qui dépend de façon lisse de ρ

$$h = \sum_{i \in \mathbb{N}_0} \rho^i h^{(i)}$$

en particulier, $h^{(0)}$ est positive définie

- ▶ le spectre de Δ n'est plus discret, donc on considère les résonances (quantiques) au lieu des valeurs propres.



géométrie asymptotiquement hyperbolique

- ▶ la métrique g a une structure précise à l'infini

$$g = \frac{d\rho^2 + h}{\rho^2}$$

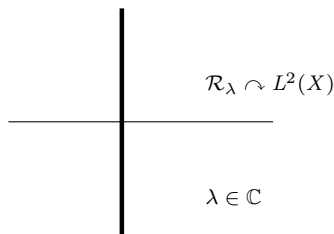
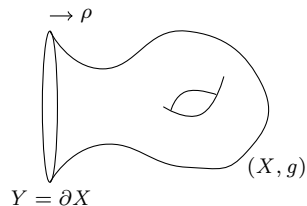
où ρ est une fonction qui définit le bord et h est une métrique sur Y qui dépend de façon lisse de ρ

$$h = \sum_{i \in \mathbb{N}_0} \rho^i h^{(i)}$$

en particulier, $h^{(0)}$ est positive définie

- ▶ le spectre de Δ n'est plus discret, donc on considère les résonances (quantiques) au lieu des valeurs propres.
- ▶ pour cela, on étudie

$$\mathcal{R}_\lambda := (\Delta - \frac{n^2}{4} + \lambda^2)^{-1}$$



géométrie asymptotiquement hyperbolique

- ▶ la métrique g a une structure précise à l'infini

$$g = \frac{d\rho^2 + h}{\rho^2}$$

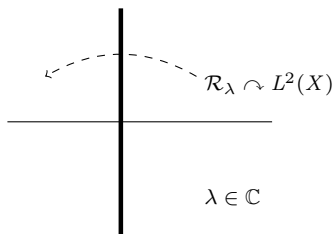
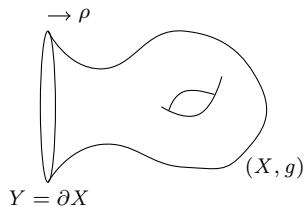
où ρ est une fonction qui définit le bord et h est une métrique sur Y qui dépend de façon lisse de ρ

$$h = \sum_{i \in \mathbb{N}_0} \rho^i h^{(i)}$$

en particulier, $h^{(0)}$ est positive définie

- ▶ le spectre de Δ n'est plus discret, donc on considère les résonances (quantiques) au lieu des valeurs propres.
- ▶ pour cela, on étudie

$$\mathcal{R}_\lambda := (\Delta - \frac{n^2}{4} + \lambda^2)^{-1}$$



géométrie asymptotiquement hyperbolique

- ▶ la métrique g a une structure précise à l'infini

$$g = \frac{d\rho^2 + h}{\rho^2}$$

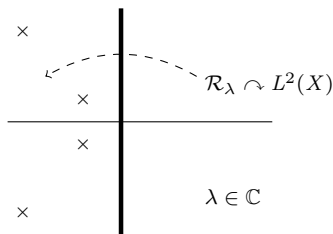
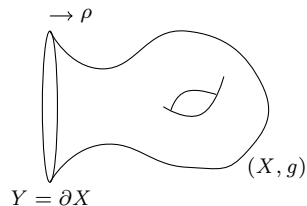
où ρ est une fonction qui définit le bord et h est une métrique sur Y qui dépend de façon lisse de ρ

$$h = \sum_{i \in \mathbb{N}_0} \rho^i h^{(i)}$$

en particulier, $h^{(0)}$ est positive définie

- ▶ le spectre de Δ n'est plus discret, donc on considère les résonances (quantiques) au lieu des valeurs propres.
- ▶ pour cela, on étudie

$$\mathcal{R}_\lambda := (\Delta - \frac{n^2}{4} + \lambda^2)^{-1}$$



géométrie asymptotiquement hyperbolique

- ▶ la métrique g a une structure précise à l'infini

$$g = \frac{d\rho^2 + h}{\rho^2}$$

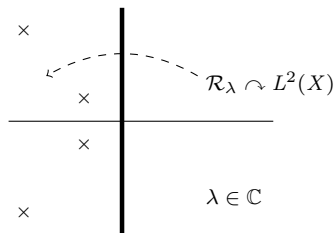
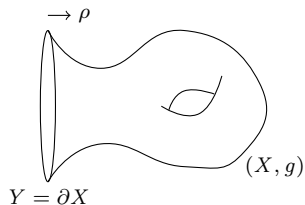
où ρ est une fonction qui définit le bord et h est une métrique sur Y qui dépend de façon lisse de ρ

$$h = \sum_{i \in \mathbb{N}_0} \rho^i h^{(i)}$$

en particulier, $h^{(0)}$ est positive définie

- ▶ le spectre de Δ n'est plus discret, donc on considère les résonances (quantiques) au lieu des valeurs propres.
- ▶ pour cela, on étudie

$$\mathcal{R}_\lambda := (\Delta - \frac{n^2}{4} + \lambda^2)^{-1}$$



géométrie asymptotiquement hyperbolique **paire**

- ▶ la métrique g a une structure précise à l'infini

$$g = \frac{d\rho^2 + h}{\rho^2}$$

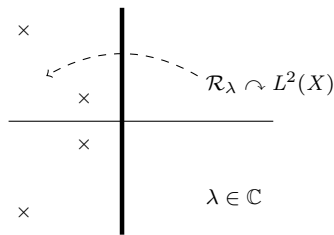
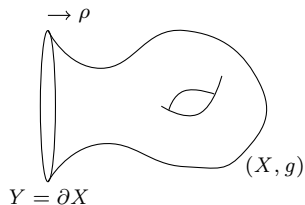
où ρ est une fonction qui définit le bord et h est une métrique sur Y qui dépend de façon lisse de ρ^2

$$h = \sum_{i \in \mathbb{N}_0} \rho^{2i} h^{(i)}$$

en particulier, $h^{(0)}$ est positive définie

- ▶ le spectre de Δ n'est plus discret, donc on considère les résonances (quantiques) au lieu des valeurs propres.
- ▶ pour cela, on étudie

$$\mathcal{R}_\lambda := (\Delta - \frac{n^2}{4} + \lambda^2)^{-1}$$



sommaire

Structures de Clifford paires

Espace de twisteurs

Structure de Clifford-Weyl

Résonances quantiques

Méthode de Vasy

Laplacien de Lichnerowicz

Correspondance classique-quantique

analyse à la Vasy; le laplacien sur les fonctions

il considère le laplacien

$$\begin{aligned} \mathcal{Q}_\lambda &:= \Delta - \frac{n^2}{4} + \lambda^2 \\ &= -(\rho\partial_\rho)^2 + n\rho\partial_\rho + \rho^2\Delta_h - \frac{n^2}{4} + \lambda^2 \end{aligned}$$

analyse à la Vasy ; le laplacien sur les fonctions

il considère le laplacien

$$\begin{aligned} \mathcal{Q}_\lambda &:= \Delta - \frac{n^2}{4} + \lambda^2 \\ &= -(\rho\partial_\rho)^2 + n\rho\partial_\rho + \rho^2\Delta_h - \frac{n^2}{4} + \lambda^2 \end{aligned}$$

il conjugue par une puissance de ρ bien choisie puis il utilise la parité de g pour introduire $\mu := \rho^2$

$$\begin{aligned} \mu^{-\frac{\lambda}{2} - \frac{n}{4}} \mathcal{Q}_\lambda \mu^{\frac{\lambda}{2} + \frac{n}{4}} &= \mu(-4\mu\partial_\mu^2 - 4\lambda\partial_\mu + \Delta_h) \\ &=: \mu \mathcal{P}_\lambda \end{aligned}$$

analyse à la Vasy; le laplacien sur les fonctions

il considère le laplacien

$$\begin{aligned} \mathcal{Q}_\lambda &:= \Delta - \frac{n^2}{4} + \lambda^2 \\ &= -(\rho\partial_\rho)^2 + n\rho\partial_\rho + \rho^2\Delta_h - \frac{n^2}{4} + \lambda^2 \end{aligned}$$

il conjugue par une puissance de ρ bien choisie puis il utilise la parité de g pour introduire $\mu := \rho^2$

$$\begin{aligned} \mu^{-\frac{\lambda}{2} - \frac{n}{4}} \mathcal{Q}_\lambda \mu^{\frac{\lambda}{2} + \frac{n}{4}} &= \mu(-4\mu\partial_\mu^2 - 4\lambda\partial_\mu + \Delta_h) \\ &=: \mu \mathcal{P}_\lambda \end{aligned}$$

$X_{\text{extension}}$	X	
\mathcal{P}_λ hyperbolique		\mathcal{P}_λ elliptique
	Y	
$\{\mu < 0\}$	$\{\mu = 0\}$	$\{\mu > 0\}$

problème de Fredholm

$$\mathcal{P}_\lambda : H^s(X_e) \rightarrow H^{s-1}(X_e)$$

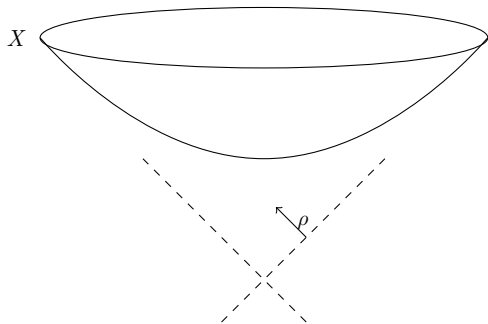
$$\text{Vasy} : \dim \ker \mathcal{P}_\lambda < \infty$$

$$\dim \ker \mathcal{P}_\lambda^* < \infty$$

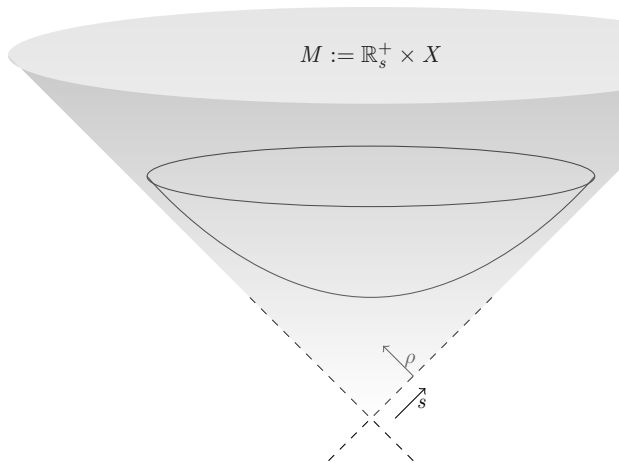
$$\text{Zworski} : \dim \ker \mathcal{P}_\lambda = 0$$

$$\dim \ker \mathcal{P}_\lambda^* = 0$$

métrique ambiante à la Fefferman-Graham un point de vue conforme

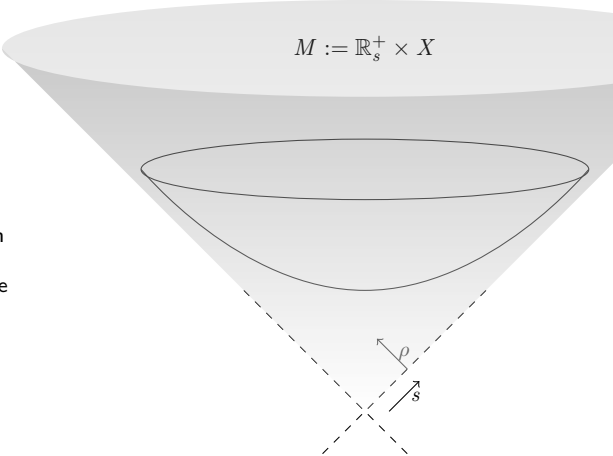


métrique ambiante à la Fefferman-Graham un point de vue conforme



$$\begin{aligned}\eta &= -ds^2 + s^2g \\ &= -ds^2 + s^2 \left(\frac{d\rho^2 + h}{\rho^2} \right)\end{aligned}$$

métrique ambiante à la Fefferman-Graham un point de vue conforme

$$M := \mathbb{R}_s^+ \times X$$


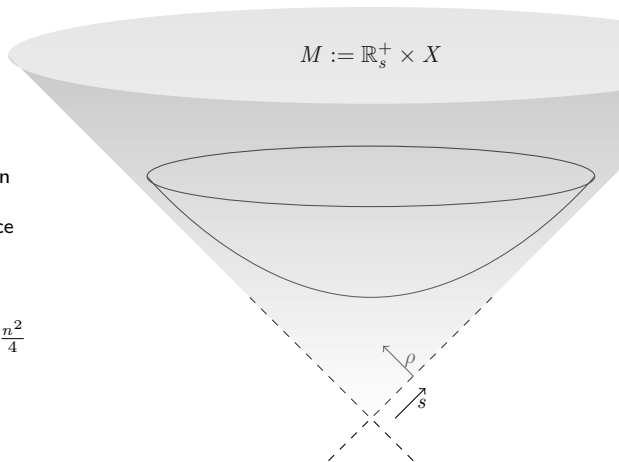
- ▶ au lieu d'étudier le laplacien sur X , on étudie le d'alembertien \square sur l'espace ambiant M

$$\begin{aligned}\eta &= -ds^2 + s^2g \\ &= -ds^2 + s^2 \left(\frac{d\rho^2 + h}{\rho^2} \right)\end{aligned}$$

métrique ambiante à la Fefferman-Graham un point de vue conforme

- ▶ au lieu d'étudier le laplacien sur X , on étudie le d'alembertien \square sur l'espace ambiant M
- ▶ et on trouve que

$$s^2 \square = \Delta + (s\partial_s + \frac{n}{2})^2 - \frac{n^2}{4}$$

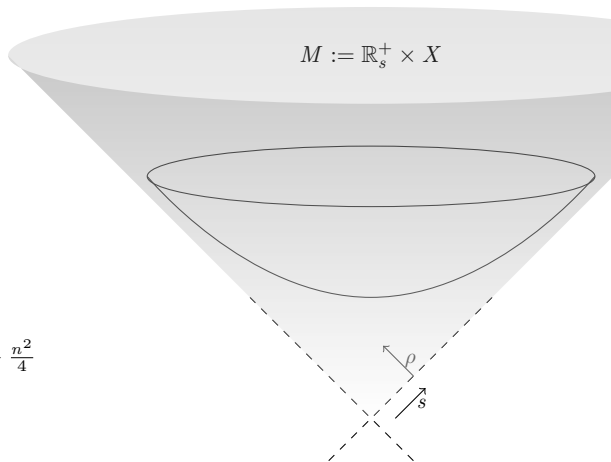


$$\begin{aligned} \eta &= -ds^2 + s^2 g \\ &= -ds^2 + s^2 \left(\frac{d\rho^2 + h}{\rho^2} \right) \end{aligned}$$

métrique ambiante à la Fefferman-Graham un point de vue conforme

- ▶ au lieu d'étudier le laplacien sur X , on étudie le d'alembertien \square sur l'espace ambiant M
- ▶ et on trouve que

$$s^{\frac{n}{2}} s^2 \square s^{-\frac{n}{2}} = \Delta + (s\partial_s)^2 - \frac{n^2}{4}$$



$$\begin{aligned} \eta &= -ds^2 + s^2 g \\ &= -ds^2 + s^2 \left(\frac{d\rho^2 + h}{\rho^2} \right) \end{aligned}$$

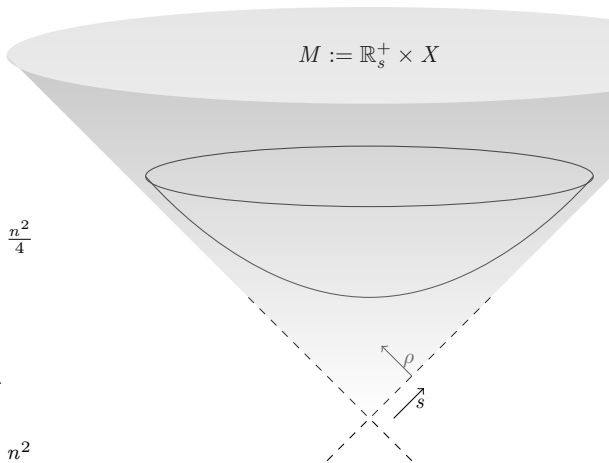
métrique ambiante à la Fefferman-Graham un point de vue conforme

- ▶ au lieu d'étudier le laplacien sur X , on étudie le d'Alembertien \square sur l'espace ambiant M
- ▶ et on trouve que

$$s^{\frac{n}{2}} s^2 \square s^{-\frac{n}{2}} = \Delta + (s\partial_s)^2 - \frac{n^2}{4}$$

- ▶ on appelle \mathbf{Q} cet opérateur ci-dessus, et on utilise le b-calcul de Melrose afin d'obtenir une famille d'opérateurs \mathcal{Q}_λ agissant sur la variété X

$$\mathcal{Q}_\lambda := I_s(\mathbf{Q}, \lambda) = \Delta + \lambda^2 - \frac{n^2}{4}$$



$$\begin{aligned} \eta &= -ds^2 + s^2 g \\ &= -ds^2 + s^2 \left(\frac{d\rho^2 + h}{\rho^2} \right) \end{aligned}$$

métrique ambiante à la Fefferman-Graham un point de vue conforme

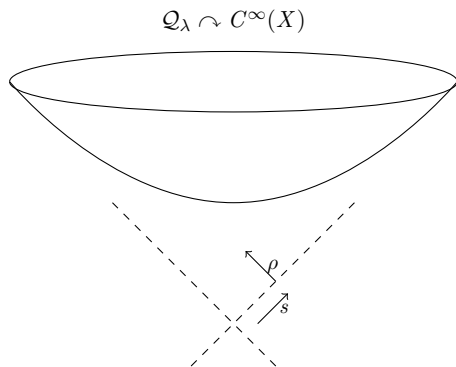
- ▶ au lieu d'étudier le laplacien sur X , on étudie le d'alembertien \square sur l'espace ambiant M

- ▶ et on trouve que

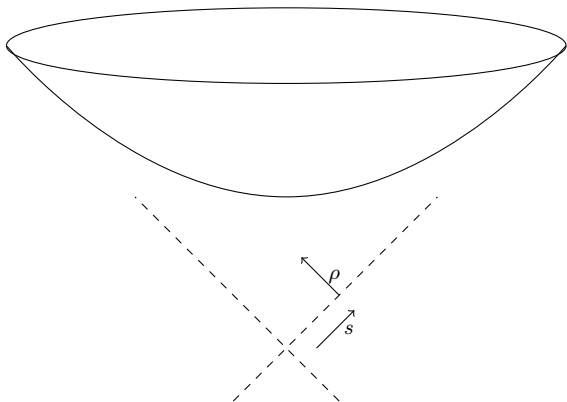
$$s^{\frac{n}{2}} s^2 \square s^{-\frac{n}{2}} = \Delta + (s\partial_s)^2 - \frac{n^2}{4}$$

- ▶ on appelle \mathbf{Q} cet opérateur ci-dessus, et on utilise le b-calcul de Melrose afin d'obtenir une famille d'opérateurs \mathcal{Q}_λ agissant sur la variété X

$$\mathcal{Q}_\lambda := I_s(\mathbf{Q}, \lambda) = \Delta + \lambda^2 - \frac{n^2}{4}$$



métrique ambiante à la Fefferman-Graham un point de vue projectif

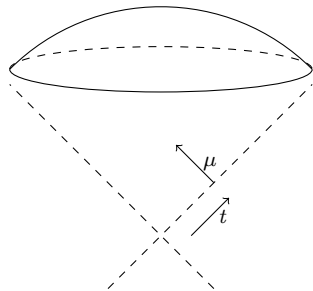


métrique ambiante à la Fefferman-Graham un point de vue projectif

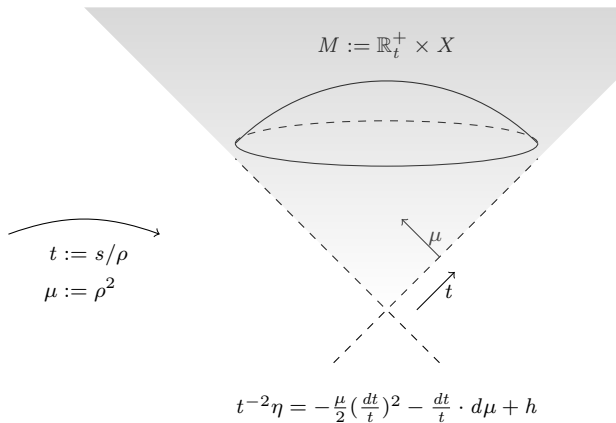


$$t := s/\rho$$

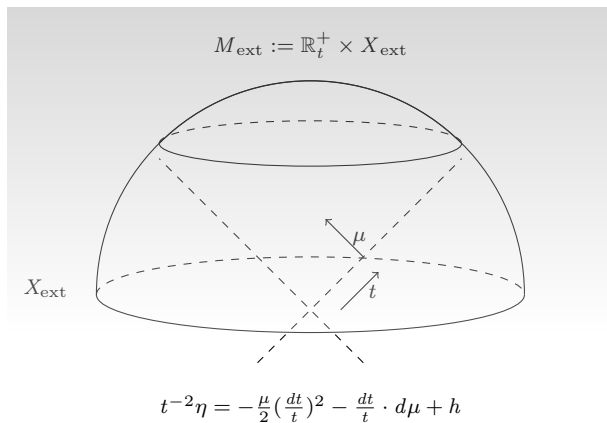
$$\mu := \rho^2$$



métrique ambiante à la Fefferman-Graham un point de vue projectif



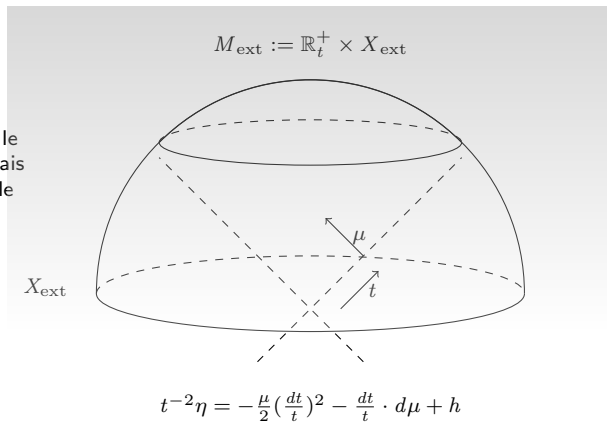
métrique ambiante à la Fefferman-Graham un point de vue projectif



métrique ambiante à la Fefferman-Graham un point de vue projectif

- ▶ encore une fois, on calcule le d'Alembertien sur M_{ext} (mais cette fois-ci, avec la variable t)

$$\mathbf{P} := t^{\frac{n}{2}+2} \square t^{-\frac{n}{2}}$$



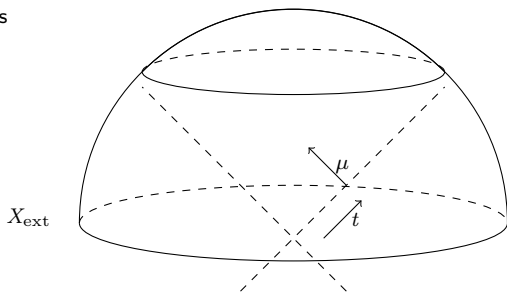
métrique ambiante à la Fefferman-Graham un point de vue projectif

- ▶ encore une fois, on calcule le d'Alembertien sur M_{ext} (mais cette fois-ci, avec la variable t)

$$\mathbf{P} := t^{\frac{n}{2}+2} \square t^{-\frac{n}{2}}$$

- ▶ et on analyse sa famille indiciale sur X_{ext}

$$\mathcal{P}_\lambda := \mathbf{I}_t(\mathbf{P}, \lambda)$$



tout cela pour dire que l'opérateur \mathcal{Q}_λ a un inverse méromorphe pour $\lambda \in \mathbb{C}$

sommaire

Structures de Clifford paires

Espace de twisteurs

Structure de Clifford-Weyl

Résonances quantiques

Méthode de Vasy

Laplacien de Lichnerowicz

Correspondance classique-quantique

formes bilinéaires symétriques

- ▶ on considère l'opérateur $\mathbf{Q} = s^{\frac{n}{2}-2+2} \square s^{-\frac{n}{2}+2}$ sur $C^\infty(M; \text{Sym}^2 T^* M)$,

formes bilinéaires symétriques

- ▶ on considère l'opérateur $\mathbf{Q} = s^{\frac{n}{2}-2+2} \square s^{-\frac{n}{2}+2}$ sur $C^\infty(M; \text{Sym}^2 T^* M)$,
- ▶ on décompose le tenseur symétrique $u \in C^\infty(M; \text{Sym}^2 T^* M)$ par rapport à l'échelle de Minkowski,

$$u = \left[1 \quad \frac{ds}{s} \quad \left(\frac{ds}{s}\right)^2 \right] \begin{bmatrix} u^{(2)} \\ u^{(1)} \\ u^{(0)} \end{bmatrix}, \quad u^{(k)} \in C^\infty(M; \text{Sym}^k T^* X)$$

formes bilinéaires symétriques

- ▶ on considère l'opérateur $\mathbf{Q} = s^{\frac{n}{2}-2+2}\square s^{-\frac{n}{2}+2}$ sur $C^\infty(M; \text{Sym}^2 T^*M)$,
- ▶ on décompose le tenseur symétrique $u \in C^\infty(M; \text{Sym}^2 T^*M)$ par rapport à l'échelle de Minkowski,

$$u = \left[\begin{array}{ccc} 1 & \frac{ds}{s} & (\frac{ds}{s})^2 \end{array} \right] \begin{bmatrix} u^{(2)} \\ u^{(1)} \\ u^{(0)} \end{bmatrix}, \quad u^{(k)} \in C^\infty(M; \text{Sym}^k T^*X)$$

- ▶ et on trouve les laplaciens (de Lichnerowicz, de Hodge, et scalaire)

$$\mathbf{Q} u = \begin{bmatrix} \Delta + (s\partial_s)^2 - c_2 - L\Lambda & d & -L \\ -\delta & \Delta + (s\partial_s)^2 - c_1 & d \\ -\Lambda & -\delta & \Delta + (s\partial_s)^2 - c_0 \end{bmatrix} \begin{bmatrix} u^{(2)} \\ u^{(1)} \\ u^{(0)} \end{bmatrix}$$

- ▶ où $c_2 = \frac{1}{4}n(n-8)$

formes bilinéaires symétriques

- ▶ on considère l'opérateur $\mathbf{Q} = s^{\frac{n}{2}-2+2}\square s^{-\frac{n}{2}+2}$ sur $C^\infty(M; \text{Sym}^2 T^*M)$,
- ▶ on décompose le tenseur symétrique $u \in C^\infty(M; \text{Sym}^2 T^*M)$ par rapport à l'échelle de Minkowski,

$$u = \left[\begin{array}{ccc} 1 & \frac{ds}{s} & (\frac{ds}{s})^2 \end{array} \right] \begin{bmatrix} u^{(2)} \\ u^{(1)} \\ u^{(0)} \end{bmatrix}, \quad u^{(k)} \in C^\infty(M; \text{Sym}^k T^*X)$$

- ▶ et on trouve les laplaciens (de Lichnerowicz, de Hodge, et scalaire)

$$\mathbf{Q} u = \begin{bmatrix} \Delta + (s\partial_s)^2 - c_2 & \text{d} & 0 \\ -\delta & \Delta + (s\partial_s)^2 - c_1 & \text{d} \\ 0 & -\delta & \Delta + (s\partial_s)^2 - c_0 \end{bmatrix} \begin{bmatrix} u^{(2)} \\ u^{(1)} \\ u^{(0)} \end{bmatrix}$$

- ▶ où $c_2 = \frac{1}{4}n(n-8)$ (et u trace nulle)

formes bilinéaires symétriques

- on considère la famille indicelle \mathcal{Q}_λ sur $C^\infty(X; \oplus_{k=0}^2 \text{Sym}^k T^* X) \cap \ker \Lambda_\eta$,

$$\mathcal{Q}_\lambda u = \begin{bmatrix} \Delta + \lambda^2 - c_2 & d & 0 \\ -\delta & \Delta + \lambda^2 - c_1 & d \\ 0 & -\delta & \Delta + \lambda^2 - c_0 \end{bmatrix} \begin{bmatrix} u^{(2)} \\ u^{(1)} \\ u^{(0)} \end{bmatrix}$$

formes bilinéaires symétriques

- ▶ on considère la famille indiciaire \mathcal{Q}_λ sur $C^\infty(X; \oplus_{k=0}^2 \text{Sym}^k T^*X) \cap \ker \Lambda_\eta$,

$$\mathcal{Q}_\lambda u = \begin{bmatrix} \Delta + \lambda^2 - c_2 & d & 0 \\ -\delta & \Delta + \lambda^2 - c_1 & d \\ 0 & -\delta & \Delta + \lambda^2 - c_0 \end{bmatrix} \begin{bmatrix} u^{(2)} \\ u^{(1)} \\ u^{(0)} \end{bmatrix}$$

- ▶ sachant que \mathcal{Q}_λ^{-1} est méromorphe, on prend

$$f \in C_c^\infty(X; \text{Sym}^2 T^*X) \cap \ker \Lambda \cap \ker \delta$$

et on essaie de découpler le système

$$\begin{bmatrix} \Delta + \lambda^2 - c_2 & d & 0 \\ -\delta & \Delta + \lambda^2 - c_1 & d \\ 0 & -\delta & \Delta + \lambda^2 - c_0 \end{bmatrix} \begin{bmatrix} u^{(2)} \\ u^{(1)} \\ u^{(0)} \end{bmatrix} = \begin{bmatrix} f \\ 0 \\ 0 \end{bmatrix}$$

formes bilinéaires symétriques

► on introduit les résolvantes $\mathcal{R}_\lambda^{(0)}$ et $\mathcal{R}_\lambda^{(1)}$

$$\begin{bmatrix} \Delta + \lambda^2 - c_2 + d \mathcal{R}_\lambda^{(1)} \delta & 0 & 0 \\ -\delta & \Delta + \lambda^2 - c_1 + d \mathcal{R}_\lambda^{(0)} \delta & 0 \\ 0 & -\delta & \Delta + \lambda^2 - c_0 \end{bmatrix} \begin{bmatrix} u^{(2)} \\ u^{(1)} \\ u^{(0)} \end{bmatrix} = \begin{bmatrix} f \\ 0 \\ 0 \end{bmatrix}$$

formes bilinéaires symétriques

► on introduit les résolvantes $\mathcal{R}_\lambda^{(0)}$ et $\mathcal{R}_\lambda^{(1)}$

$$\begin{bmatrix} \Delta + \lambda^2 - c_2 + d \mathcal{R}_\lambda^{(1)} \delta & 0 & 0 \\ -\delta & \Delta + \lambda^2 - c_1 + d \mathcal{R}_\lambda^{(0)} \delta & 0 \\ 0 & -\delta & \Delta + \lambda^2 - c_0 \end{bmatrix} \begin{bmatrix} u^{(2)} \\ u^{(1)} \\ u^{(0)} \end{bmatrix} = \begin{bmatrix} f \\ 0 \\ 0 \end{bmatrix}$$

► et on applique δ et utilise $[\delta, \Delta] = 0$ (alors il faut que la variété soit Einstein)

$$\begin{bmatrix} \Delta + \lambda^2 - c_2 + \delta d \mathcal{R}_\lambda^{(1)} & 0 & 0 \\ -\delta & \Delta + \lambda^2 - c_1 + \delta d \mathcal{R}_\lambda^{(0)} & 0 \\ 0 & -\delta & \Delta + \lambda^2 - c_0 \end{bmatrix} \begin{bmatrix} \delta u^{(2)} \\ \delta u^{(1)} \\ \delta u^{(0)} \end{bmatrix} = \begin{bmatrix} 0 \\ 0 \\ 0 \end{bmatrix}$$

formes bilinéaires symétriques

- on introduit les résolvantes $\mathcal{R}_\lambda^{(0)}$ et $\mathcal{R}_\lambda^{(1)}$

$$\begin{bmatrix} \Delta + \lambda^2 - c_2 + d \mathcal{R}_\lambda^{(1)} \delta & 0 & 0 \\ -\delta & \Delta + \lambda^2 - c_1 + d \mathcal{R}_\lambda^{(0)} \delta & 0 \\ 0 & -\delta & \Delta + \lambda^2 - c_0 \end{bmatrix} \begin{bmatrix} u^{(2)} \\ u^{(1)} \\ u^{(0)} \end{bmatrix} = \begin{bmatrix} f \\ 0 \\ 0 \end{bmatrix}$$

- et on applique δ et utilise $[\delta, \Delta] = 0$ (alors il faut que la variété soit Einstein)

$$\begin{bmatrix} \Delta + \lambda^2 - c_2 + \delta d \mathcal{R}_\lambda^{(1)} & 0 & 0 \\ -\delta & \Delta + \lambda^2 - c_1 + \delta d \mathcal{R}_\lambda^{(0)} & 0 \\ 0 & -\delta & \Delta + \lambda^2 - c_0 \end{bmatrix} \begin{bmatrix} \delta u^{(2)} \\ \delta u^{(1)} \\ \delta u^{(0)} \end{bmatrix} = \begin{bmatrix} 0 \\ 0 \\ 0 \end{bmatrix}$$

- donc $\delta u^{(k)} = 0$ et le système $\mathcal{Q}_\lambda u = f$ découple

$$\begin{bmatrix} \Delta + \lambda^2 - c_2 & d & 0 \\ 0 & \Delta + \lambda^2 - c_1 & d \\ 0 & 0 & \Delta + \lambda^2 - c_0 \end{bmatrix} \begin{bmatrix} u^{(2)} \\ u^{(1)} \\ u^{(0)} \end{bmatrix} = \begin{bmatrix} f \\ 0 \\ 0 \end{bmatrix}$$

et on trouve que $u = u^{(2)}$ avec $(\Delta + \lambda^2 - c_2)u = f$

formes bilinéaires symétriques

- ▶ on introduit les résolvantes $\mathcal{R}_\lambda^{(0)}$ et $\mathcal{R}_\lambda^{(1)}$

$$\begin{bmatrix} \Delta + \lambda^2 - c_2 + d \mathcal{R}_\lambda^{(1)} \delta & 0 & 0 \\ -\delta & \Delta + \lambda^2 - c_1 + d \mathcal{R}_\lambda^{(0)} \delta & 0 \\ 0 & -\delta & \Delta + \lambda^2 - c_0 \end{bmatrix} \begin{bmatrix} u^{(2)} \\ u^{(1)} \\ u^{(0)} \end{bmatrix} = \begin{bmatrix} f \\ 0 \\ 0 \end{bmatrix}$$

- ▶ et on applique δ et utilise $[\delta, \Delta] = 0$ (alors il faut que la variété soit Einstein)

$$\begin{bmatrix} \Delta + \lambda^2 - c_2 + \delta d \mathcal{R}_\lambda^{(1)} & 0 & 0 \\ -\delta & \Delta + \lambda^2 - c_1 + \delta d \mathcal{R}_\lambda^{(0)} & 0 \\ 0 & -\delta & \Delta + \lambda^2 - c_0 \end{bmatrix} \begin{bmatrix} \delta u^{(2)} \\ \delta u^{(1)} \\ \delta u^{(0)} \end{bmatrix} = \begin{bmatrix} 0 \\ 0 \\ 0 \end{bmatrix}$$

- ▶ donc $\delta u^{(k)} = 0$ et le système $\mathcal{Q}_\lambda u = f$ découple

$$\begin{bmatrix} \Delta + \lambda^2 - c_2 & d & 0 \\ 0 & \Delta + \lambda^2 - c_1 & d \\ 0 & 0 & \Delta + \lambda^2 - c_0 \end{bmatrix} \begin{bmatrix} u^{(2)} \\ u^{(1)} \\ u^{(0)} \end{bmatrix} = \begin{bmatrix} f \\ 0 \\ 0 \end{bmatrix}$$

et on trouve que $u = u^{(2)}$ avec $(\Delta + \lambda^2 - c_2)u = f$

- ▶ en définissant $u := \mathcal{Q}_\lambda^{-1} f$, on obtient l'extension désirée

$$\mathcal{Q}_\lambda^{-1} f = (\Delta + \lambda^2 - c_2)^{-1} f$$

Théorème 8

Soit (X^{n+1}, g) une variété asymptotiquement hyperbolique dont la métrique est paire et Einstein. Alors la résolvante du laplacien de Lichnerowicz

$$\mathcal{R}_\lambda := \left(\Delta - \frac{n(n-8)}{4} + \lambda^2 \right)^{-1}$$

agissant sur $L^2(X; \text{Sym}^2 T^* X) \cap \ker \Lambda \cap \ker \delta$ se prolonge de $\text{Re } \lambda \gg 1$ au plan complexe comme une famille méromorphe finie d'opérateurs

$$\begin{aligned} \mathcal{R}_\lambda &: C_c^\infty(X; \text{Sym}^2 T^* X) \cap \ker \Lambda \cap \ker \delta \\ &\rightarrow \rho^{\lambda + \frac{n}{2} - 2} C_{\text{paire}}^\infty(\overline{X}; \text{Sym}^2 T^* X) \cap \ker \Lambda \cap \ker \delta. \end{aligned}$$

Théorème 9

Soit (X^{n+1}, g) une variété hyperbolique convexe-cocompacte. Alors la résolvante du laplacien

$$\mathcal{R}_{\Delta, m}(s) := (\nabla^* \nabla - s(n - s) - m)^{-1}$$

agissant sur $L^2(X; \text{Sym}^m T^* X) \cap \ker \Lambda \cap \ker \delta$ se prolonge de $\text{Re } s \gg 1$ au plan complexe comme une famille méromorphe finie d'opérateurs

$$\begin{aligned} \mathcal{R}_{\Delta, m}(s) &: C_c^\infty(X; \text{Sym}^m T^* X) \cap \ker \Lambda \cap \ker \delta \\ &\rightarrow \rho^{s-m} C_{\text{paire}}^\infty(\overline{X}; \text{Sym}^m T^* X) \cap \ker \Lambda \cap \ker \delta. \end{aligned}$$

sommaire

Structures de Clifford paires

Espace de twisteurs

Structure de Clifford-Weyl

Résonances quantiques

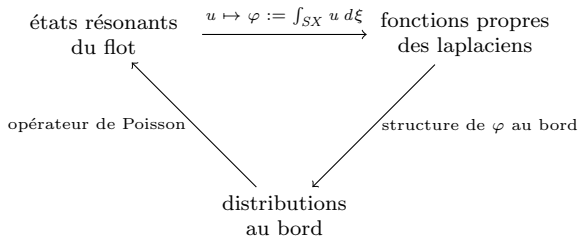
Méthode de Vasy

Laplacien de Lichnerowicz

Correspondance classique-quantique

Correspondance classique-quantique ; $X = \Gamma \backslash \mathbb{H}^{n+1}$ cocompacte

Dyatlov-Faure-Guillarmou '15



Correspondance classique-quantique ; $X = \Gamma \backslash \mathbb{H}^{n+1}$ cocompacte

états résonants
du flot

π_{0*}

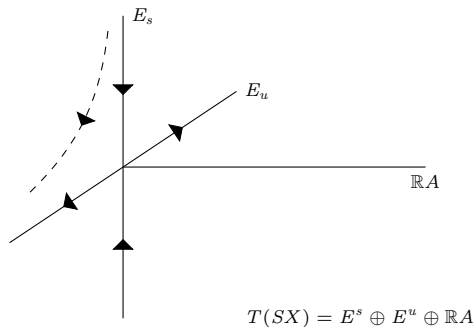


fonctions propres
des laplaciens

Correspondance classique-quantique ; $X = \Gamma \backslash \mathbb{H}^{n+1}$ cocompacte

- ▶ on considère un état résonant $u \in \mathcal{D}'(SX)$ associé à la résonance $\lambda \in \mathbb{C} \setminus \{-\frac{n}{2} - \frac{1}{2}\mathbb{N}_0\}$. Rappel : $\operatorname{Re} \lambda \leq 0$

$$(A + \lambda)u = 0, \quad u \in \mathcal{D}'_u$$



Correspondance classique-quantique ; $X = \Gamma \backslash \mathbb{H}^{n+1}$ cocompacte

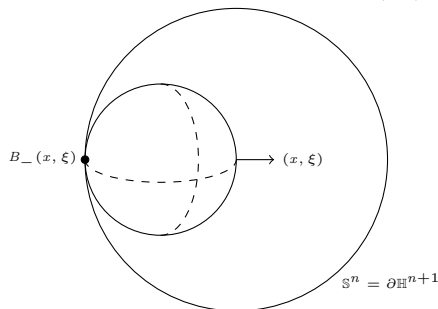
$$\begin{array}{ccc}
 \mathcal{E} \oplus \mathbb{R}A & & TX \\
 \downarrow & & \downarrow \\
 SX & \longrightarrow & X
 \end{array}$$

- ▶ on considère un état résonant $u \in \mathcal{D}'(SX)$ associé à la résonance $\lambda \in \mathbb{C} \setminus \{-\frac{n}{2} - \frac{1}{2}\mathbb{N}_0\}$. Rappel : $\text{Re } \lambda \leq 0$

$$(A + \lambda)u = 0, \quad u \in \mathcal{D}'_u$$

- ▶ on prend sa dérivée avec $d_- : \Gamma(SX) \rightarrow \Gamma(SX; \text{Sym } \mathcal{E})$ jusqu'à ce qu'il soit constant grâce à la relation de commutation $[A, d_-] = -d_-$

$$v := (d_-)^m u \in \Gamma(SX; \text{Sym}^m \mathcal{E}) \cap \ker d_- \cap \ker(A + \lambda + m)$$



Correspondance classique-quantique ; $X = \Gamma \backslash \mathbb{H}^{n+1}$ cocompacte

- ▶ on considère un état résonant $u \in \mathcal{D}'(SX)$ associé à la résonance $\lambda \in \mathbb{C} \setminus \{-\frac{n}{2} - \frac{1}{2}\mathbb{N}_0\}$. Rappel : $\text{Re } \lambda \leq 0$

$$(A + \lambda)u = 0, \quad u \in \mathcal{D}'_u$$

états résonants
du flot

π_{0*}

- ▶ on prend sa dérivée avec $d_- : \Gamma(SX) \rightarrow \Gamma(SX; \text{Sym } \mathcal{E})$ jusqu'à ce qu'il soit constant grâce à la relation de commutation $[A, d_-] = -d_-$

$$v := (d_-)^m u \in \Gamma(SX; \text{Sym}^m \mathcal{E}) \cap \ker d_- \cap \ker(A + \lambda + m)$$

- ▶ on le décompose par rapport à sa trace
 $v = \sum L^k v^{(m-2k)}$ où $v^{(m-2k)} \in \Gamma(SX; \text{Sym}^{m-2k} \mathcal{E})$
et on l'intègre le long des fibres.

$$\varphi^{m-2k} := \pi_{0*} v^{(m-2k)} \in \Gamma(X; \text{Sym}^{m-2k} T^*X)$$

fonctions propres
des laplaciens

Correspondance classique-quantique ; $X = \Gamma \backslash \mathbb{H}^{n+1}$ cocompacte

états résonants
du flot

π_{0*}

fonctions propres
des laplaciens

- ▶ on considère un état résonant $u \in \mathcal{D}'(SX)$ associé à la résonance $\lambda \in \mathbb{C} \setminus \{-\frac{n}{2} - \frac{1}{2}\mathbb{N}_0\}$. Rappel : $\text{Re } \lambda \leq 0$

$$(A + \lambda)u = 0, \quad u \in \mathcal{D}'_u$$

- ▶ on prend sa dérivée avec $d_- : \Gamma(SX) \rightarrow \Gamma(SX; \text{Sym } \mathcal{E})$ jusqu'à ce qu'il soit constant grâce à la relation de commutation $[A, d_-] = -d_-$

$$v := (d_-)^m u \in \Gamma(SX; \text{Sym}^m \mathcal{E}) \cap \ker d_- \cap \ker(A + \lambda + m)$$

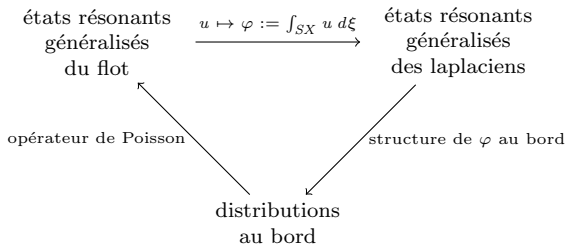
- ▶ on le décompose par rapport à sa trace
 $v = \sum L^k v^{(m-2k)}$ où $v^{(m-2k)} \in \Gamma(SX; \text{Sym}^{m-2k} \mathcal{E})$
et on l'intègre le long des fibres.

$$\varphi^{m-2k} := \pi_{0*} v^{(m-2k)} \in \Gamma(X; \text{Sym}^{m-2k} T^*X)$$

- ▶ on trouve finalement qu'il devient une section propre du laplacien

$$\varphi^{m-2k} \in \ker(\nabla^* \nabla + c_{\lambda, m, k}) \cap \ker \Lambda \cap \ker \delta$$

Correspondance classique-quantique ; $X = \Gamma \backslash \mathbb{H}^{n+1}$ convexe-cocompacte



Théorème 11

Soit $X = \Gamma \backslash \mathbb{H}^{n+1}$ une variété hyperbolique convexe-cocompacte orientée. Pour tout $\lambda_0 \in \mathbb{C} \setminus (-\frac{n}{2} - \frac{1}{2}\mathbb{N}_0)$, il existe un isomorphisme linéaire entre l'espace vectoriel d'états résonants généralisés de Ruelle

$$\text{Res}_{A,0}(\lambda_0)$$

et l'espace vectoriel ci-suivant d'états résonants généralisés quantiques

$$\bigoplus_{m \in \mathbb{N}_0} \bigoplus_{k=0}^{\lfloor \frac{m}{2} \rfloor} \text{Res}_{\Delta, m-2k}(\lambda_0 + m + n).$$

merci de votre attention